文章编号: 1001-3555(2013)05-0406-07

Raney-Ni-Mo/Al₂O₃ 催化剂的制备及其催化茚饱和加氢性能

罗国华,徐 新*,靳海波 (北京石油化工学院 化学工程学院,北京 102617)

摘要:以含钼为 1.5% 的镍-铝合金粉与拟薄水铝石按质量比为 1:1 的比例,经成型、焙烧、浸取活化制备了负载型 Raney-Ni-Mo/Al₂O₃ 加氢催化剂,通过 XRD、BET、TG-DTA 及 SEM 等手段对催化剂进行分析表征,并以茚加氢生成 茚满的反应为探针,采用连续固定床加氢反应装置对所制备的催化剂加氢性能进行了评价。结果表明:成型合金 Alloy-Ni-Mo/Al₂O₃ 的焙烧温度对于浸取活化后的 Raney-Ni-Mo/Al₂O₃ 催化剂的抗压强度至关重要,比较适宜的焙烧温度为 860 °C,在该温度下合金中富铝相 NiAl₃ 向贫铝相 Ni₂Al₃ 转变不仅有利于提高催化剂的加氢活性,而且金属铝被氧化生成 α -Al₂O₃,使得制备的 Raney-Ni-Mo/Al₂O₃ 加氢催化剂的强度能满足固定床装填要求。在反应压力 2.0 MPa、温度 180 °C、WHSV=2 h⁻¹、氢油比(V/V)为 300:1 条件下,Raney-Ni-Mo/Al₂O₃ 催化剂催化茚加氢生成茚满的转化率在所考察的 1 000 h 周期内均高于 90%,表明该催化剂具有较好的加氢活性及其活性稳定性.

关键词: 镍铝合金粉; 负载型催化剂; 雷尼镍; 茚; 催化加氢

中图分类号: TQ 208.1; O643.3 文献标志码: A

传统的雷尼镍是指由非晶态镍铝合金通过苛性 碱液浸取后形成的多孔骨架镍催化剂^[1-4],由于其 制备工艺简单,且具有优良的活氢性能及良好的抗 硫、砷中毒特性,因而作为加氢催化剂被广泛应用于 石油化工与精细化工领域. 但该催化剂无机械强度, 不能满足固定床装填的要求,因而只能采用桨态鼓 泡床或间歇搅拌釜进行操作,而且由于催化剂耐磨 性能极差,桨态鼓泡和间歇搅拌过程中,催化剂粉化 现象十分突出,后续催化剂与产物分离难度大,而且 存在催化剂流失^[5],很大程度上限制了传统雷尼镍 催化剂在大吨位连续催化加氢装置上的应用.

制备满足固定床装填要求的雷尼镍催化剂的研究始于 20 年前,并有相关的文献及工业化报道^[6-7],其中研究较多集中在合金粉以有机聚合物作为粘接剂粘合直接成型后经高温焙烧,合金相中的铝被氧化生成 α-Al₂O₃ 相,由于 α-Al₂O₃ 在浸取活化过程中不被溶解,作为雷尼镍催化剂的载体并赋予了催化剂一定的强度;也有直接采用一定尺度粒状合金经过浅层碱浸取活化,利用内层未被活化的合金相作为催化剂载体制备固定床雷尼镍催化剂^[8],该法所制备的催化剂比表面积较小、活性中

心数目少、活性稳定性差,尽管可以将失活后的催化剂再次碱浸取活化以恢复活性,但随着碱浸取向合金相内层深入,催化剂的抗压强度显著降低,导致固定床操作特性恶化,所以并不能从根本上解决雷尼镍催化剂的强度问题.因此,寻求合适的制备方法,在保证催化剂具备一定的抗压强度的同时,又能发挥雷尼镍催化剂优良的加氢性能,是此类催化剂能否在连续大吨位加氢装置上得到广泛应用的关键所在.

茚普遍存在于炼焦副产的焦化碳九以及石脑油 裂解制乙烯副产的裂解碳九中,由于茚本身容易发生自聚、且易被空气氧化,导致油品的胶质含量高、氧化安定性差,作为汽油调合油显然是不利的.将茚催化加氢转化为茚满,可以有效地改善上述油品品质,而采用 Raney-Ni-Mo/Al₂O₃ 催化剂催化茚加氢的研究目前还未见报道.

1 实验部分

1.1 实验原料与试剂

镍铝合金粉, 粒度 < 70 μm, 镍含量均为 47.5%、钼含量为1.5%, 其余为铝, 大连通用化工

收稿日期: 2013-07-15; 修回日期: 2013-08-26.

基金项目: 北京市教委会资助项目(PXM2013-014222); 北京市属高等学校高层次人才引进与培养计划项目(CIT&TCD20130325).

作者简介: 罗国华(1966-), 男, 硕士, 副教授.

有限公司生产;拟薄水铝石粉末,SiO₂及 Na₂O 的含量 \leq 0.30%、Fe₂O₃含量 \leq 0.03%,中国铝业山东分公司生产;茚,纯度 98.5%,主要杂质为茚满,由盘锦晟田化工有限公司提供的焦化碳九经 85 层理论塔板分馏塔精馏切取 180.6~181.1 ℃塔顶馏分;二甲苯,分析纯,北京化学试剂公司生产;氢气,工业级,纯度 99.5%.

1.2 催化剂的制备

将含钼 1.5% 的镍-铝合金粉与拟薄水铝石粉末按重量比 1:1 均匀混合,加入一定量的浓度为 5% 的硝酸溶液粘合,并挤成直径为 2 mm 的条状,120 °C烘干 6 h,之后放入马弗炉中在一定温度下焙烧后冷却 至室 温即 得成 型 合金(记作 Alloy-Ni-Mo/Al₂O₃). 采用 20% 的氢氧化钠溶液于 80 °C 对成型合金进行浸取活化,此过程中产生的氢气通过 D07 型

气体质量流量计(北京七星华创电子股份有限公司) 计量,活化后的催化剂(记作 Raney-Ni-Mo/Al₂O₃)用 蒸馏水冲洗至中性,保存在无水乙醇中备用.

1.3 催化剂加氢实验及活性评价方式

以茚加氢饱和生成茚满为探针反应,采用连续固定床高压微反对 Raney-Ni-Mo/Al₂O₃ 催化剂的加氢活性及活性稳定性进行评价. 不锈钢反应器内径为 ф12 mm, 催化剂装填量 5 mL(粒度范围为 0.900 ~ 0.613 mm),将茚与二甲苯按体积比 1:4 混合后作为加氢反应原料,液体进料流量通过双柱塞微量计量泵(SZB-2 型,北京星达科技发展有限公司制造)计量,氢气流量采用气体质量流量计(5850E 型,美国布鲁克斯公司制造)计量,在规定的反应条件下对催化剂的加氢活性及活性稳定性进行考察. 茚加氢反应装置流程图见图 1.

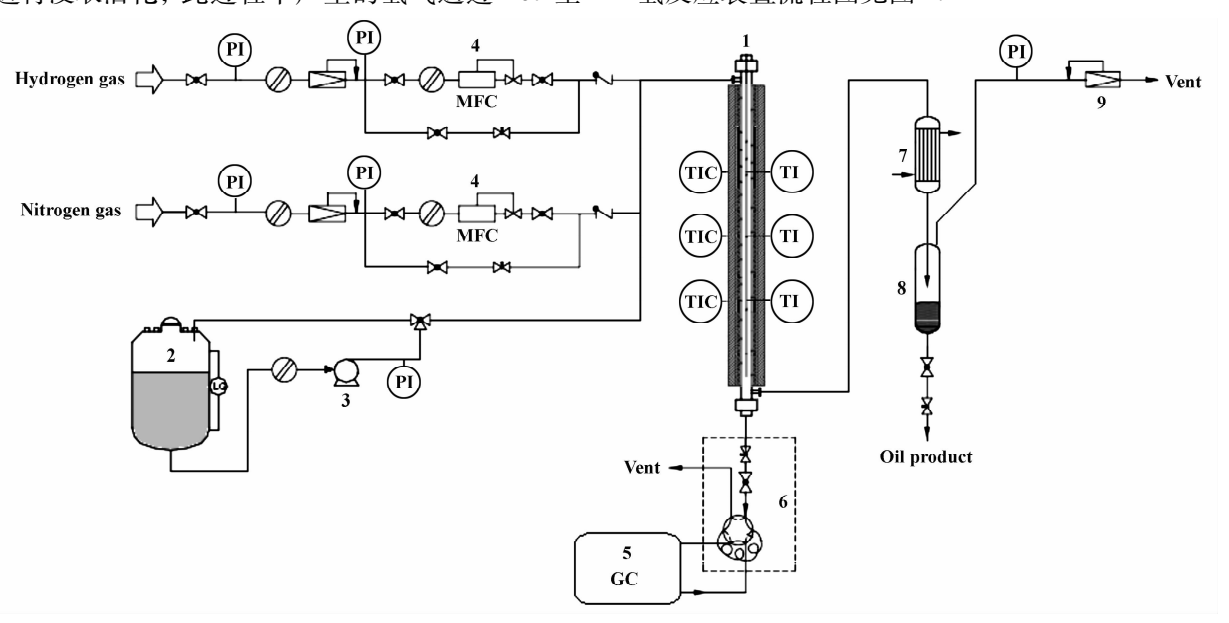


图 1 加氢反应实验装置流程图

Fig. 1 Hydrogenation reation experimental apparatus flowchart

1: Hydrogenation reactor, 2: Feed tank, 3: Pump, 4: Gas mass flow meter, 5: Gas chromatograph,

6: Online six-way valve sampler, 7: Condenser, 8: High-pressure separation tank, 9: Back pressure valve

加氢后的油相产物组分含量通过 GC-2010 气相色谱仪(日本岛津公司生产)分析,色谱条件为: FID 检测器、HP-5MS 毛细色谱柱(规格为 50 m× 0.32 mm×0.25 μ m),载气为氮气,初始柱温 80 $^{\circ}$ 保持 3 min,之后以 10 $^{\circ}$ /min 的升温速率程序升温至 180 $^{\circ}$ 并保持 10 min,检测器温度 230 $^{\circ}$. 以茚的转化率 $X_{Ind}(\%)$ 来评价催化剂加氢反应活性,茚转化率的定义式为:

$$X_{\text{Ind}} = (c_0 - c)/c_0 \times 100\%$$
,

其中: c_0 代表原料中茚的质量浓度(%, ω), c 代表加氢后油相产物中茚的质量浓度(%, ω).

1.4 仪器表征

采用岛津 XRD-7000 型 X 射线衍射仪对成型合金及相应的催化剂进行 XRD 晶相结构表征, $CuK\alpha$ 靶, 管压 36 kV, 管流 20 mA, 扫描速度 1° /min.

采用美国 TA 公司 SDT-Q600 型热重差热联用

热分析仪在空气气氛中对成型合金进行热重-差热 (TG-DTA)分析,升温速度为 10 ℃/min.

抗压强度测定是在 YKHC-3A 型(姜堰市银河 仪器厂生产)自动颗粒强度测定仪上进行,对随机 抽取 22 个长度为 5 mm 的条状催化剂测定每粒的强度,去掉最大值与最小值,取算术平均值.

采用荷兰 FEI 公司生产的 QUANTA 400 扫描电子显微镜观察催化剂样品的形貌, 电压 30 kV,放大50 000 倍.

采用低温液氮吸附容量法在美国康塔仪器公司 生产的 AUTOSORB-1-MP 物理吸附仪上测定催化剂 比表面积、比孔容积及平均孔半径. 将样品于 200 $^{\circ}$ 真空脱气,再在液氮环境中($^{-1}$ 96 $^{\circ}$)测定其吸 附等温线,根据BET、BJH模型方程给出比表面积、 比孔容积及平均半径.

2 结果与讨论

2.1 焙烧温度对 Raney-Ni-Mo/Al,O, 强度的影响

以含钼 1.5% 的镍-铝合金粉与拟薄水铝石粉末按重量比 1:1 混合, 5% 硝酸作为粘合剂, 经捏合挤条, 120 $^{\circ}$ $^{\circ}$ 干燥, 并在不同温度进行焙烧制得成型合金 Alloy-Ni-Mo/Al $_2$ O $_3$, 再经碱浸取活化后得到 Raney-Ni-Mo/Al $_2$ O $_3$ 催化剂, 并对催化剂的强度、表面结构以及晶相结构进行表征, 结果见表 1、图 2 及图 3.

表 1 焙烧温度对 Raney-Ni-Mo/Al $_2$ O $_3$ 催化剂强度、表面结构的影响

Table 1 Influence of calcination temperatures on strength and surface structure of supported Raney-Ni-Mo/Al₂O₃

Calcination temp. ∕°C	Strength of Cat. $/(N\boldsymbol{\cdot}cm^{^{-1}})$	H_2 release volume _ /($L \cdot g^{-1}$)	Catalyst surface structure		
			Surface area	Pore volume	Average pore diameter
			$/(m^2 \cdot g^{-1})$	$/(cm^3 \cdot g^{-1})$	/nm
820	93	1.05	124.6	0.26	7.67
840	127	0.26	115.5	0.24	7.32
860	154	0.17	95.5	0.22	8.99
880	174	0.11	84.4	0.18	8.57
900	185	0.09	54.7	0.11	9.61
950	197	0.04	24.3	0.07	8.03

从表 1 可以看出,在相对较低的温度下(如820℃)焙烧后的成型合金,其浸取活化时的氢气产气量大大高于其它温度下焙烧的样品,虽然催化剂具有相对较大的比表面积、比孔容,但催化剂的抗压强度最小;随着焙烧温度的提高,碱浸取活化时的氢气产气量也随之降低,且比表面积、比孔容积均明显减小,催化剂的抗压强度逐步提高,尤其是在950℃焙烧的样品,其外观为灰白色与灰蓝色混合物,碱活化抽铝过程中氢气产气量最小,且尾气有明显氨气释放.这表明焙烧温度对催化剂强度以及表面结构影响十分显著.图 2 及图 3 为 820、860 及 950 ℃温度下焙烧后的 Alloy-Ni-Mo/Al₂O₃ 以及碱浸取活化后相应的 Raney-Ni-Mo/Al₂O₃ 催化剂XRD图.

从图 2 可知,成型合金 Alloy-Ni-Mo/Al₂O₃ 在 820 ℃焙烧时,样品只有 NiAl₃、Ni₂Al₃ 两种物质的 晶相衍射峰. 而在 860 ℃焙烧时,样品 NiAl₃ 的

XRD 衍射峰消失,Ni₂Al₃ 的衍射峰强度增强,同时新出现 α -Al₂O₃ 物质的衍射峰,这表明富铝相的 NiAl₃ 晶相在高温焙烧过程中向贫铝相的 Ni₂Al₃ 物质转变,铝则被氧化成 α -Al₂O₃^[7],而 α -Al₂O₃ 的生成有助于提高催化剂的强度.当焙烧温度为 950 $^{\circ}$ C,Ni₂Al₃ 晶相衍射峰强度减弱, α -Al₂O₃ 晶相衍射峰进一步增强,同时出现 AlN 的晶相衍射峰,这表明过高的焙烧温度导致合金中的铝除了被空气进一步氧化生成 α -Al₂O₃ 之外,同时与氮气反应生成AlN,致使 Ni₂Al₃ 晶相向 NiAl 晶相转型,尽管生成的 α -Al₂O₃ 物质有利于进一步提高催化剂的强度,但 Alloy-Ni-Mo/Al₂O₃ 中的贫铝相 NiAl(Ni₂Al₃ 与 NiAl 的 XRD 衍射峰重叠)对催化剂的加氢活性是不利的.

从图 3 所示的 Raney-Ni-Mo/Al₂O₃ 催化剂 XRD 图可以看出,820 $^{\circ}$ 、860 $^{\circ}$ 焙烧的成型合金碱浸取抽铝活化后,对应 Ni₂Al₃、NiAl₃ 衍射峰完全消

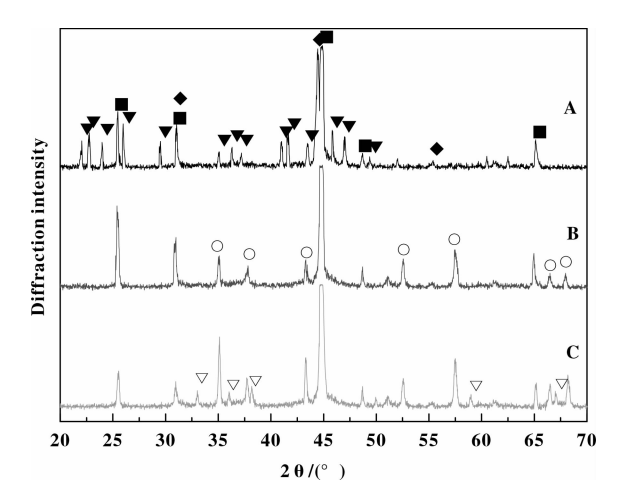


图 2 成型 Alloy-Ni-Mo/Al₂O₃ 在不同温度下焙烧 2 h 后 的 XRD 图

Fig. 2 XRD patterns of alloy Ni-Mo/Al $_2$ O $_3$ by calcined at different temperatures for 2 h

A, B, C: alloy-Ni-Mo/Al $_2{\rm O}_3$ calcined at 820 $^{\circ}\!{\rm C}$, 860 $^{\circ}\!{\rm C}$, 950 $^{\circ}\!{\rm C}$ respectively.

 \blacksquare : Ni₂Al₃; \blacktriangledown : NiAl₃; \diamondsuit : NiAl; \triangledown : AlN; \bigcirc : α -Al₂O₃

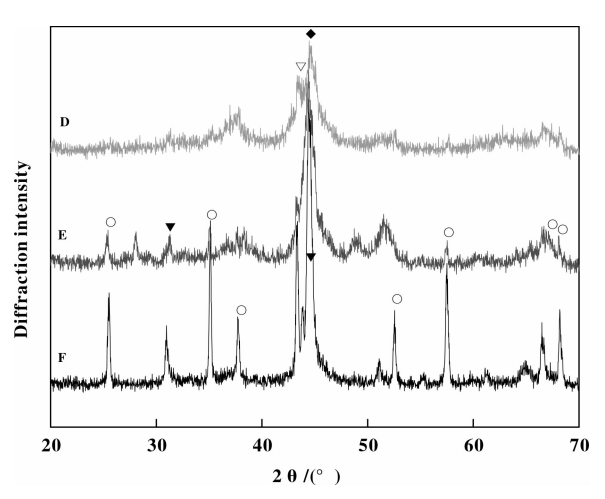


图 3 碱液浸取活化后的 Raney-Ni-Mo/Al₂O₃ 催化剂的 XRD 图

Fig. 3 XRD patterns of Raney-Ni-Mo/Al₂O₃ by extracted aluminum with sodium hydroxide solution D, E, F: Raney-Ni-Mo/Al₂O₃ catalysts corresponding Alloy-Ni-Mo/Al₂O₃ calcined at 820 °C, 860 °C, 950 °C respectively ◆:Ni; ▼:NiAl; ∇:NiO; ○:α-Al₂O₃

失,并转化为具有加氢活性的骨架镍, XRD 图中均 出现明显的弥散型骨架镍特征衍射峰;而 950 ℃ 焙 烧的样品活化后,骨架镍弥散型衍射峰不明显, AIN 衍射峰完全消失,原因在于其与氢氧化钠反应 转化为偏铝酸钠, 并释放 NH_3 (反应式为: $AlN + NaOH + H_2O \rightarrow NaAlO_2 + NH_3$), 由于 α - Al_2O_3 及 NiAl 不溶于碱, 因此, 浸取活化后仍保留下来.

对于 820 ℃焙烧的 Alloy-Ni-Mo/Al₂O₃ 样品,由于其所含 NiAl₃ 晶相成分相对较多,且 NiAl₃ 容易与氢氧化钠反应^[9-10],因而浸取活化时产生的氢气量相对较多,所形成的活性镍结构相对松散,极易粉化^[11-12],而且由于在该温度下焙烧时不生成α-Al₂O₃ 晶相,因而催化剂的抗压强度较低. 当焙烧温度为 860 ℃时,生成的α-Al₂O₃ 显著提高了催化剂强度,同时生成的 Ni₂Al₃ 晶相浸取活化后更容易形成有较大比表面的骨架镍^[13],而且形成的疏松区域的骨架镍之间互相支撑使得镍晶体在催化反应中不易聚结,预期催化剂具有较高的加氢活性及应中不易聚结,预期催化剂具有较高的加氢活性及活性稳定性. 而在 950 ℃焙烧时,由于 NiAl 晶相成分增多,而 NiAl 中原子的分布处于低能状态,原子间的结合力较强,不能进一步脱铝,也不能被浸取活化,这将极可能导致催化剂的活性变差^[11].

成型合金 Alloy-Ni-Mo/Al $_2$ O₃ 在不同温度下焙烧时,合金晶相的转型及 α -Al $_2$ O₃ 晶相的生成也可以从图 4 差热热重曲线得到进一步验证.

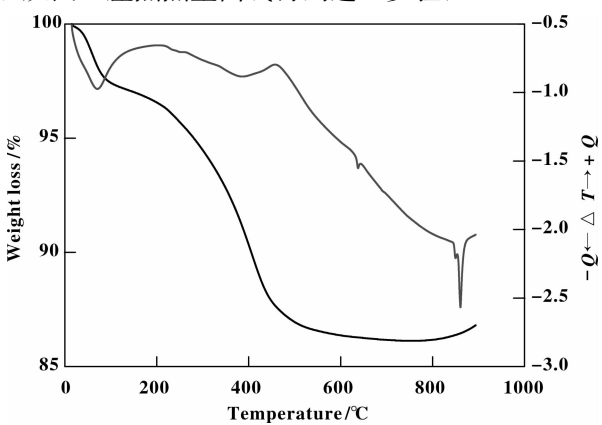


图 4 成型合金 Alloy-Ni-Mo/Al₂O₃ 的 TG-DTA 曲线 Fig. 4 TG-DTA curve of Alloy-Ni-Mo/Al₂O₃

从图 4 可知, TG 曲线在 100 ℃之前及 200 ~ 500 ℃之间出现明显的失重,这分别是由 $Alloy-Ni-Mo/Al_2O_3$ 载体吸附的自由水蒸发、载体拟薄水铝石失水以及粘合剂的分解所造成的. 当温度高于 500 ℃, $Alloy-Ni-Mo/Al_2O_3$ 的失重明显减缓,而当温度高于 800 ℃时, 开始出现增重,尤其是当温度高于 860 ℃时, $Alloy-Ni-Mo/Al_2O_3$ 的增重十分显著,说明此时发生大量铝的氧化,这部分被氧化的

铝应该是来自于镍铝合金由富铝相 NiAl₃ 向贫铝相 Ni₂Al₃ 转变时溶出的铝,从 860 $^{\circ}$ 焙烧时样品的 XRD 图中 NiAl₃ 衍射峰消失、Ni₂Al₃ 衍射峰增强,表明的确存在 NiAl₃ 向 Ni₂Al₃ 的转变过程,它对应 DTA 曲线在 855 ~ 865 $^{\circ}$ 的吸热峰,而溶出的铝被氧化生成 α -Al₂O₃ 的放热对应着 DTA 曲线在 865 $^{\circ}$ 之后明显的翘尾峰。随着焙烧温度的进一步提高,Alloy-Ni-Mo/Al₂O₃ 进一步增重,这是由于 Al₃Ni₂ 进一步向 NiAl 转变时溶出的铝被氧化生成 α -Al₂O₃ 及氮化生成 AlN 所致,从 950 $^{\circ}$ 焙烧后的 Alloy-Ni-Mo/Al₂O₃XRD 图中出现 AlN 的晶相衍峰及 α -Al₂O₃ 衍射峰增强可以得到证实。

2.2 Raney-Ni-Mo/Al₂O₃的茚加氢活性及稳定性

由以上分析可见,成型合金 Alloy-Ni-Mo/Al₂O₃ 的焙烧温度不仅影响制备的 Raney-Ni-Mo/Al₂O₃ 催化剂的强度,而且影响催化剂表面金属 Ni 的结构及加氢活性. 为了考察催化剂的加氢活性及稳定性,在人口温度 $180 \, ^{\circ} \mathrm{C}$ 、操作压力 $2.5 \, \mathrm{MPa}$ 、液体进料体积空速 $2.0 \, \mathrm{h^{-1}}$ 、氢油比 300:1 的条件下,对 820、860 及 $950 \, ^{\circ} \mathrm{C}$ 温度下焙烧并经浸取活化后的 Raney-Ni-Mo/Al₂O₃ 催化剂催化茚加氢反应活性及活性稳定性进行了考察,结果见图 5.

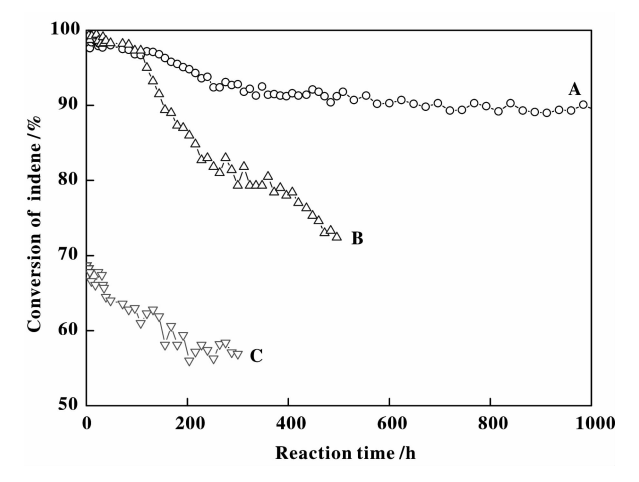


图 5 Raney-Ni-Mo/Al₂O₃ 催化剂催化茚加氢反应活性及稳定性

Fig. 5 Catalytic activity and stability of Raney-Ni-Mo/Al $_2$ O $_3$ catalysts for indene hydrogenation A, B, C: Raney-Ni-Mo/Al $_2$ O $_3$ catalysts corresponding Alloy-Ni-Mo/Al $_2$ O $_3$ calcined at 860 °C, 820 °C, 950 °C

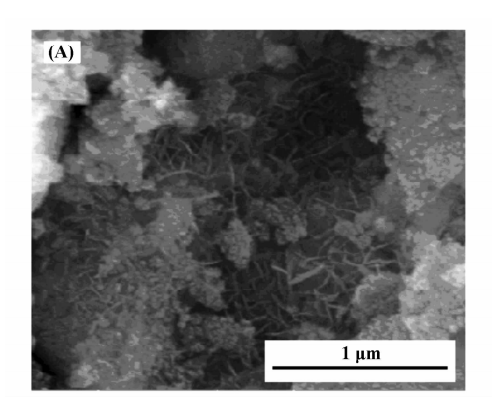
由图 5 可见, 在前 100 h 初始活性期, 820 ℃焙 烧条件下制得的 Raney-Ni-Mo/Al₂O₃ 催化剂的茚加

respectively

氢生成茚满的平均转化率略高于860℃焙烧的催化 剂,但随着反应时间的延长,前者活性开始逐渐下 降, 当反应到500 h时, 茚的转化率只有72%;而后 者在200 h 初始活性期之后,催化剂活性逐步趋于 稳定,反应连续运行至1000 h, 茚的转化率仍能维 持在90%左右. 这说明, 较低温度下(如820℃)焙 烧的成型合金中含 NiAl, 晶相成分相对较多, 浸取 活化后的金属 Ni 其表面暴露的加氢活性中心数目 相对要多,因而表现出较高的初始加氢活性,但其 活性稳定性较差,其原因可能与其表面不稳定的活 性镍晶粒相互聚集长大有很大关系;而860℃焙烧 后的成型合金贫铝相 Ni, Al, 成分相对较多, 浸取脱 铝活化后形成的骨架镍互相支撑使得镍晶粒在催化 反应中不易聚结,因而其茚加氢活性在所考察的 1000 h 内保持稳定. 从图 5 同时可知, 950 ℃焙烧 后的成型合金浸取活化制得的催化剂尽管抗压强度 好,但催化茚加氢活性明显偏低,前 100 h 初始活 性期茚平均转化率不到65%,这说明焙烧温度过 高, 使 Ni, Al, 进一步向原子间结合力较强的 NiAl 晶相转变,不利于提高催化剂加氢活性.

对 860 $^{\circ}$ 焙烧浸取活化制得的 Raney-Ni-Mo/Al₂O₃ 催化茚加氢连续运转 1 000 h 后的催化剂和新鲜催化剂进行 SEM、XRD 表征以及表面结构分析,结果见图 6、图 7 及表 2.

从图6催化剂反应前后的电镜图片可以看出, 催化剂在连续运行 1000 h 后, 其表面蜂窝网格状 结构消失,说明催化剂表面存在积炭现象,导致催 化剂比表面积、孔体积及平均孔径相对新鲜催化剂 均略有下降(见表2),但催化剂仍能维持较高的催 化活性. 图 7 为催化剂反应前后的 XRD 图, 活性组 分镍的衍射峰增强,表明镍晶粒在反应过程中存在 聚集,但催化剂经1000 h 长周期运行活性十分稳 定, 这也说明该催化剂的加氢活性稳定性比较理 想. 从表2还可以看出, 积碳后的催化剂经过再生 后,其比表面积、孔体积及平均孔径基本能恢复到 新鲜催化剂一致的水平,但从图7再生后催化剂的 XRD 图发现,加氢活性组分镍晶相衍射峰进一步增 强,而且出现明显 NiO 的衍射峰,说明催化剂上的 骨架镍在再生过程中部分被氧化生成氧化镍,同时 还存在晶粒的聚集,这对催化剂加氢活性及活性稳 定性显然是不利的,因此,还有必要进一步研究催 化剂的再生条件对加氢活性及活性稳定性的影响 规律.



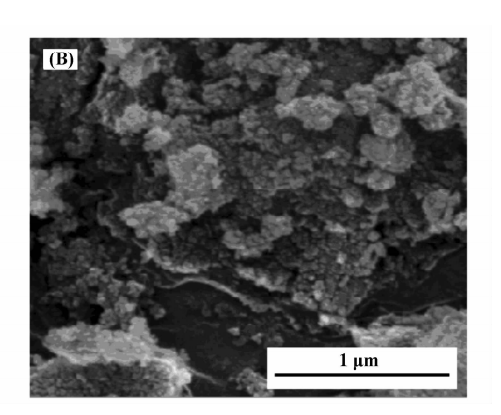


图 6 反应 1 000 h 后的催化剂与新鲜催化剂的 SEM 表征 Fig. 6 SEM images of fresh catalyst and catalyst after 1 000 h reaction A: Fresh catalyst, B: Catalyst after 1 000 h reaction

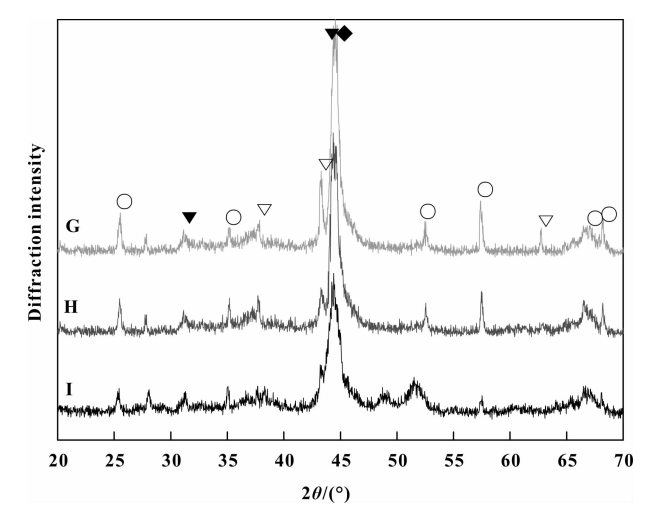


图 7 反应 1 000 h 后的催化剂和新鲜催化剂的 XRD 图 Fig. 7 XRD patterns of catalyst after 1 000 h(H) reaction After regeneration(G) and fresh catalysts(I)

◆:Ni; ▼:NiAl; ∇:NiO; ○:α-Al,O₃

表 2 催化剂的相关物性表征

Table 2 Surface structure of catalysts

	Fresh	Catalyst	Catalyst
Parameters		after reaction	after
	catalyst	for 1 000 h	regeneration
Surface area/ $(m^2 \cdot g^{-1})$	97.5	82.4	94.5
Pore volume/ $(cm^3 \cdot g^{-1})$	0.22	0.18	0.20
Average porediameter/nm	8.99	8.76	8.87

3 结 论

对以含钼为 1.5% 的镍-铝合金粉与拟薄水铝

石为原料制备了 Raney-Ni-Mo/Al₂O₃ 加氢催化剂,通过 XRD、BET、TG-DTA 表征手段对催化剂进行分析表征,并以茚加氢反应为探针考察了催化剂加氢活性及活性稳定性. 结果表明:

(1) Alloy-Ni-Mo/Al₂O₃ 的焙烧温度直接影响浸取活化后 Raney-Ni-Mo/Al₂O₃ 催化剂的抗压强度,适宜的焙烧温度为 860 $^{\circ}$, 在该温度下 Alloy-Ni-Mo/Al₂O₃ 中富铝相 NiAl₃ 向贫铝相 Ni₂Al₃ 转变不仅有利于提高催化剂的加氢活性稳定性,而且溶出的金属铝被氧化生成强度较高的 α -Al₂O₃ 相,使得制备的 Raney-Ni-Mo/Al₂O₃ 加氢催化剂的抗压强度达到 154 N·cm⁻¹,满足工业固定床装填要求;

(2)以茚加氢生成茚满的反应为探针,在反应 压力 2.0 MPa、人口温度 180 ℃、原料质量空速 2 h^{-1} 、氢油比(V/V)为 300:1 条件下,Alloy-Ni-Mo/Al₂O₃ 在 860 ℃ 焙烧并经浸取活化后的 Raney-Ni-Mo/Al₂O₃ 催化剂催化茚加氢的转化率在所考察的 1 000 h 周期内均高于 90%,表明该催化剂具有较理想的活性及其活性稳定性.

参考文献:

- [1] Osaki A, et al(尾崎萃(日)等主编), "Handbook of catalysts" Group translation(《催化剂手册》翻译小组译). Handbook of catalysts(催化剂手册)[M]. Beijing: Chem Ind Press(北京: 化学工业出版社), 1982. 587-622.
- [2] Freel J, Pieters W J M, Anderson R B. The structure of Raney nickel: I. Pore structure [J]. J Catal, 1969, 14 (3): 247-256.
- [3] Rodella C B, Kellermann G, Francisco M S P, et al.

- Textural and structural analyses of industrial Raney nickel catalyst [J]. *Ind Eng Chem Res*, 2008, **47**(22): 8612-8618.
- [4] Salah A, Makhlouf E, Ivanov K, et al. Nanoscale quasiamorphous nickel produced by leaching sputter- deposited Ni₂₅ Al₇₅ alloy [J]. J Alloys Compd, 1992, 187 (1): L1-L6.
- [5] Birkenstok U, Holm R, Reinfandt B, et al. Surface analysis of Raney catalysts [J]. J Catal, 1985, 93(1): 55-67.
- [6] Shimazu K, Tateno Y, Magara M, et al. US [P]. 6414201, 2002.
- [7] Wu-Cheng Ch, Lawrence J C, Carmo J P. Preparation, characterization, and performance of a novel fixed-bed Raney catalyst [J]. *Ind Eng Chem Res*, 1989, 28: 1764-1767.
- [8] Breitscheidel B, Walter M, Kratz D, et al. US [P]. 6207865, 2001.

- [9] Choudhary V R, Chaudhari S K, Crokarn A N. A kinetic model for leaching process in preparation of Raney nickel catalyst [J]. Ind Eng Chem Res., 1989, 28: 33-37.
- [10] Fouilloux P. The nature of raney nickel, its adsorbed hydrogen and its catalytic activity for hydrogenation reactions [J]. Appl Catal, 1983, 8(1):1-42.
- [11] LuZhi-long(陆致龙), Wang Rong(王 蓉), Ke Jun(柯 俊), et al. Effect of alloy preparation on microstructure and cativity of Raney Ni catalysts(原始合金制备方法对 Raney Ni 催化剂结构及加氢活性影响)[J]. Chinese Journal of catalysis.(催化学报), 1997, 18(2):110-114.
- [12] Robertson S D, Anderson R B. The structure of Raney nickel: V. Partial activation of the catalyst [J]. J Catal, 1976, 41(3): 405-411.
- [13] Freel J, Pieters W J M, Anderson R B. The structure of Raney nickel: II. Electron microprobe studies [J]. J Catal, 1970, 16(3): 281-291.

Preparation of the Supported Raney-Ni-Mo/Al₂ O₃ Catalyst and Its Catalytic Hydrogenation of Indene

LUO Guo-hua, XU Xin, JIN Hai-bo

(School of Chemical Engineering, Beijing Institute of Petrochemical Technology, Beijing 102617, China)

Abstract: The Raney-Ni-Mo/Al₂O₃ catalysts for hydrogeneration of unsaturated organic compounds were prepared by kneading and extruding the nickel-aluminum alloy powder with pseudoboehmite at a mass ratio of 1:1, calcined at different temperatures and leached out the aluminum with sodium hydroxide solution. XRD, BET, TG-DTA, and SEM measurement methods were used to analyze and determine the characteristics of the catalysts. Meanwhile, the catalytic hydrogeneration preformance of the prepared catalysts was investigated in a continuous fixed-bed hydrogenation reactor with indene hydrogenation reaction as a reaction probe. The results show that the calcination temperature plays an importment role in the compressive strength of the supported Raney-Ni-Mo/Al₂O₃, and the more appropriate calcination temperature is 860 °C, the crystal phase transformation from NiAl₃ phase to Ni₂Al₃ phase at that appropriate temperature not only improve the hydrogenation activity of the prepared catalyst, and also enhance the compressive strength of the supported Raney-Ni-Mo/Al₂O₃ by oxidizing aluminum to generate α -Al₂O₃ phase. In addition, the supported Raney-Ni-Mo/Al₂O₃ catalyst used to the hydrogeneration of indene exhibits a high catalytic activity and activity stability. Under the reaction conditions of reaction pressure 2.0 MPa, inlet temperature 180 °C, fresh oil space velocity 2 h⁻¹, and volume ratio of hydrogen to oil 300 : 1, the conversion of indene was higher than 90% in the reaction period of 1 000 h.

Key words: nickel-aluminum alloy powder; supported catalyst; raney Ni; indene; catalytic hydrogenation